



Министерство науки и высшего образования Российской Федерации
Федеральное государственное автономное образовательное учреждение
высшего образования
**«Московский государственный технический университет имени
Н.Э. Баумана**
(национальный исследовательский университет)
(МГТУ им. Н.Э. Баумана)

ФАКУЛЬТЕТ «Информатика и системы управления»

КАФЕДРА «Программное обеспечение ЭВМ и информационные технологии»

Лабораторная работа № 6 по дисциплине «Анализ алгоритмов»

Тема Методы решения задачи коммивояжёра

Студент Ильченко Е.А.

Группа ИУ7-54Б

Преподаватель Волкова Л.Л.

СОДЕРЖАНИЕ

ВВЕДЕНИЕ	5
1 Аналитическая часть	6
1.1 Постановка задачи коммивояжёра	6
1.2 Метод полного перебора	6
1.3 Муравьиный алгоритм	7
1.3.1 Феромонная модель и эвристика	7
1.3.2 Правило выбора следующей вершины	7
1.3.3 Правило обновления феромонов	7
1.4 Вывод	8
2 Конструкторская часть	9
2.1 Требования к реализации	9
2.2 Описание алгоритмов	9
3 Технологическая часть	14
3.1 Средства реализации	14
3.2 Реализация алгоритмов	14
3.3 Подготовка входных данных	14
3.4 Функциональные тесты	15
3.5 Оценка трудоёмкости алгоритмов	16
3.5.1 Алгоритм полного перебора	16
3.5.2 Муравьиный алгоритм	16
4 Исследовательская часть	18
4.1 Характеристики ЭВМ	18
4.2 Сравнение времени работы	18
4.3 Параметризация муравьиного алгоритма	20
4.4 Вывод	20
ЗАКЛЮЧЕНИЕ	21

СПИСОК ИСПОЛЬЗОВАННЫХ ИСТОЧНИКОВ 22

ПРИЛОЖЕНИЕ А 23

ВВЕДЕНИЕ

Цель работы: сравнительный анализ метода полного перебора и метода на основе муравьиного алгоритма для поиска кратчайшего незамкнутого пути в неориентированном взвешенном графе.

Для достижения поставленной цели необходимо решить следующие задачи:

- описать метод полного перебора и метод на основе муравьиного алгоритма;
- реализовать два метода;
- выполнить оценку трудоёмкости реализованных алгоритмов по разработанным схемам;
- выполнить параметризацию алгоритма поиска минимального пути на основе муравьиного алгоритма;
- провести сравнительный анализ двух рассмотренных методов решения задачи коммивояжёра;
- по итогам исследования дать рекомендации о значениях параметров.

1 Аналитическая часть

1.1 Постановка задачи коммивояжёра

Пусть задан неориентированный взвешенный граф $G = (V, E)$, где $V = \{v_1, v_2, \dots, v_n\}$ — множество вершин, соответствующих городам, а $E \subseteq V \times V$ — множество рёбер, соответствующих возможным путям между городами. Каждому ребру $(i, j) \in E$ сопоставлен вес $w_{ij} \in \mathbb{R}^+$, определяющий время перемещения между вершинами i и j . Для неориентированного графа матрица весов $W = \|w_{ij}\|_{n \times n}$ является симметричной, то есть $w_{ij} = w_{ji}$.

Классическая задача коммивояжёра формулируется как поиск гамильтонова цикла минимальной длины, то есть замкнутого маршрута, проходящего через каждую вершину графа ровно один раз и возвращающегося в исходную вершину [1].

В настоящей работе рассматривается модификация задачи: требуется найти **гамильтонов путь** минимальной длины, то есть **незамкнутый маршрут**, проходящий через каждую вершину графа ровно один раз без возврата в начальный город.

Пусть $\pi = (\pi_1, \pi_2, \dots, \pi_n)$ — перестановка номеров вершин графа, определяющая порядок их посещения. Тогда длина (время) незамкнутого маршрута определяется как

$$L(\pi) = \sum_{i=1}^{n-1} w_{\pi_i \pi_{i+1}}. \quad (1.1)$$

Необходимо найти такую перестановку π^* , что

$$L(\pi^*) = \min_{\pi} L(\pi). \quad (1.2)$$

1.2 Метод полного перебора

Алгоритм полного перебора (brute force) представляет собой точный метод решения задачи коммивояжёра, основанный на анализе всех возможных маршрутов [2].

Основные этапы алгоритма:

- 1) сгенерировать все возможные перестановки вершин графа (размер пространства поиска составляет $(n - 1)!$ маршрутов);
- 2) для каждой перестановки π вычислить длину незамкнутого маршрута $L(\pi)$;
- 3) выбрать перестановку с минимальным значением функции $L(\pi)$.

В отличие от классической постановки с циклом, в данной работе длина маршрута вычисляется только по переходам между последовательными вершинами пути и не включает возврат из последней вершины в первую.

Алгоритм полного перебора гарантированно находит оптимальное решение, однако имеет факториальную трудоёмкость $O(n! \cdot n)$ и потому пригоден только для графов небольшой размерности.

1.3 Муравьиный алгоритм

Муравьиный алгоритм относится к классу стохастических оптимизационных методов, инспирированных поведением муравьиных колоний при поиске кратчайших путей между гнездом и источниками пищи [3]. Муравьи взаимодействуют опосредованно, через феромонные следы, усиливая успешные маршруты и постепенно «забывая» неудачные.

В данной работе используется модификация муравьиного алгоритма для поиска гамильтонова пути без использования элитных муравьёв.

1.3.1 Феромонная модель и эвристика

Каждому ребру (i, j) сопоставлен уровень феромона τ_{ij} , отражающий накопленный «опыт» успешного использования этого ребра муравьями.

Эвристическая информация задаётся как *видимость* ребра

$$\eta_{ij} = \frac{1}{w_{ij}}, \quad (1.3)$$

которая тем больше, чем короче ребро.

1.3.2 Правило выбора следующей вершины

При построении маршрута каждый муравей находится в некоторой текущей вершине i и имеет множество допустимых для перехода вершин $J_k(i)$, не содержащих уже посещённые вершины. Вероятность перехода муравья k из вершины i в вершину j определяется соотношением [3]:

$$P_{ij}^k = \frac{[\tau_{ij}]^\alpha \cdot [\eta_{ij}]^\beta}{\sum_{l \in J_k(i)} [\tau_{il}]^\alpha \cdot [\eta_{il}]^\beta}, \quad (1.4)$$

где:

- $\alpha \geq 0$ — параметр влияния феромона;
- $\beta \geq 0$ — параметр влияния эвристики;
- $J_k(i)$ — множество непосещённых вершин, допустимых для перехода.

1.3.3 Правило обновления феромонов

После того как все муравьи построили свои маршруты, выполняется обновление уровней феромонов на рёбрах. Пусть L_k — длина маршрута k -го муравья, а m — число муравьёв. Тогда суммарное количество феромона, добавляемое на ребро (i, j) , вычисляется как

$$\Delta\tau_{ij} = \sum_{k=1}^m \begin{cases} \frac{Q}{L_k}, & \text{если ребро } (i, j) \text{ входит в маршрут муравья } k, \\ 0, & \text{иначе,} \end{cases} \quad (1.5)$$

где Q — параметр, пропорциональный среднему весу рёбер графа.

Обновление феромона задаётся правилом

$$\tau_{ij}(t+1) = (1 - \rho) \tau_{ij}(t) + \Delta\tau_{ij}, \quad (1.6)$$

где $\rho \in (0, 1]$ — коэффициент испарения феромона.

1.4 Вывод

В данном разделе была сформулирована задача коммивояжёра в постановке незамкнутого маршрута на неориентированном графе и рассмотрены теоретические основы двух подходов к её решению. Алгоритм полного перебора обеспечивает точное нахождение минимального по длине гамильтонова пути, но обладает факториальной трудоёмкостью и применим только для графов малой размерности. Муравьиный алгоритм использует феромонную модель и эвристическую видимость рёбер для вероятностного построения маршрутов и позволяет получать приближённые решения при существенно меньшей трудоёмкости.

2 Конструкторская часть

2.1 Требования к реализации

Разрабатываемое программное обеспечение представляет собой консольное приложение на языке Python, работающее в нескольких режимах:

- **режим одиночного запуска** — пользователь выбирает источник данных, задаёт параметры муравьиного алгоритма, после чего программа выводит найденный маршрут и его длину для алгоритма полного перебора и/или муравьиного алгоритма;
- **режим замера времени** — по заданному диапазону размеров графа выполняется серия запусков обоих алгоритмов, измеряется время работы и формируется таблица для последующего анализа и построения графиков;
- **режим параметризации** — проводится исследование влияния параметров муравьиного алгоритма.

2.2 Описание алгоритмов

На рисунке 2.1 представлена схема алгоритма полного перебора, на рисунках 2.2–2.3 — схема муравьиного алгоритма.

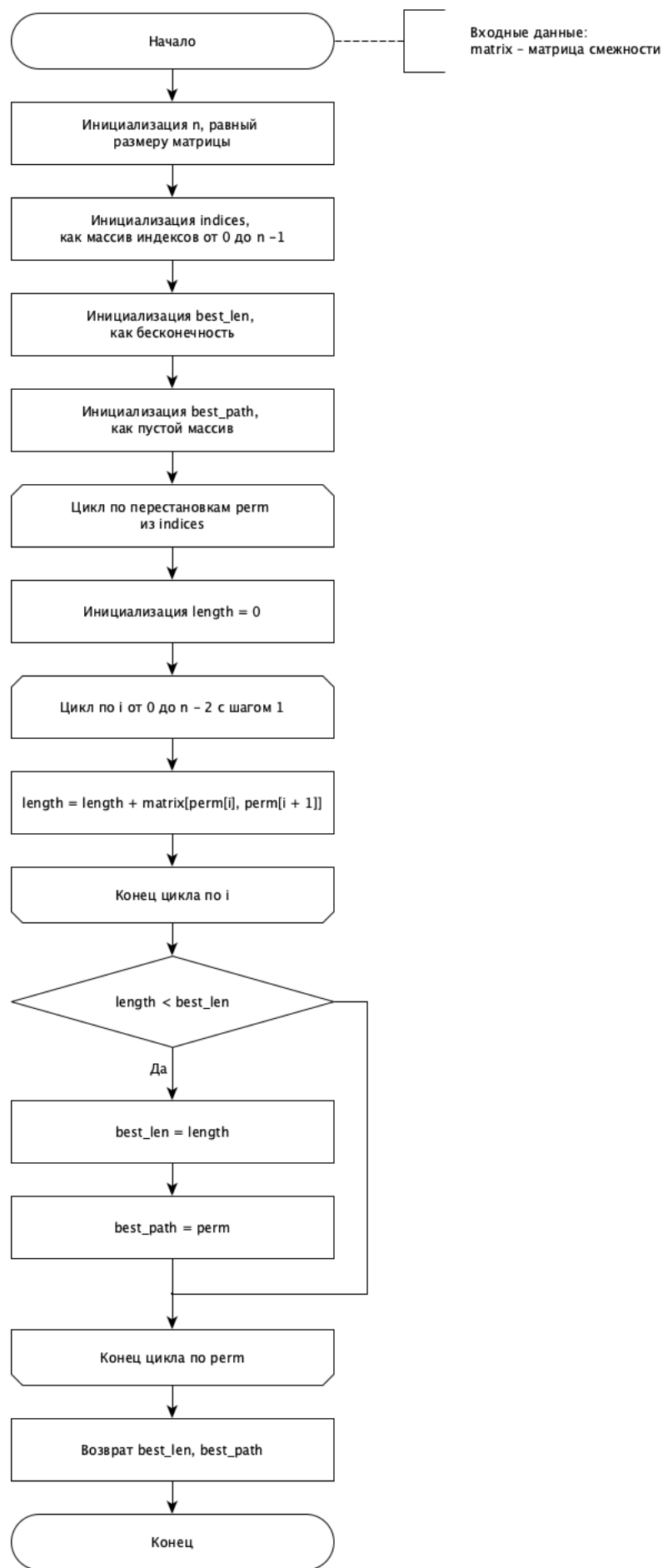


Рисунок 2.1 — Описание алгоритма полного перебора

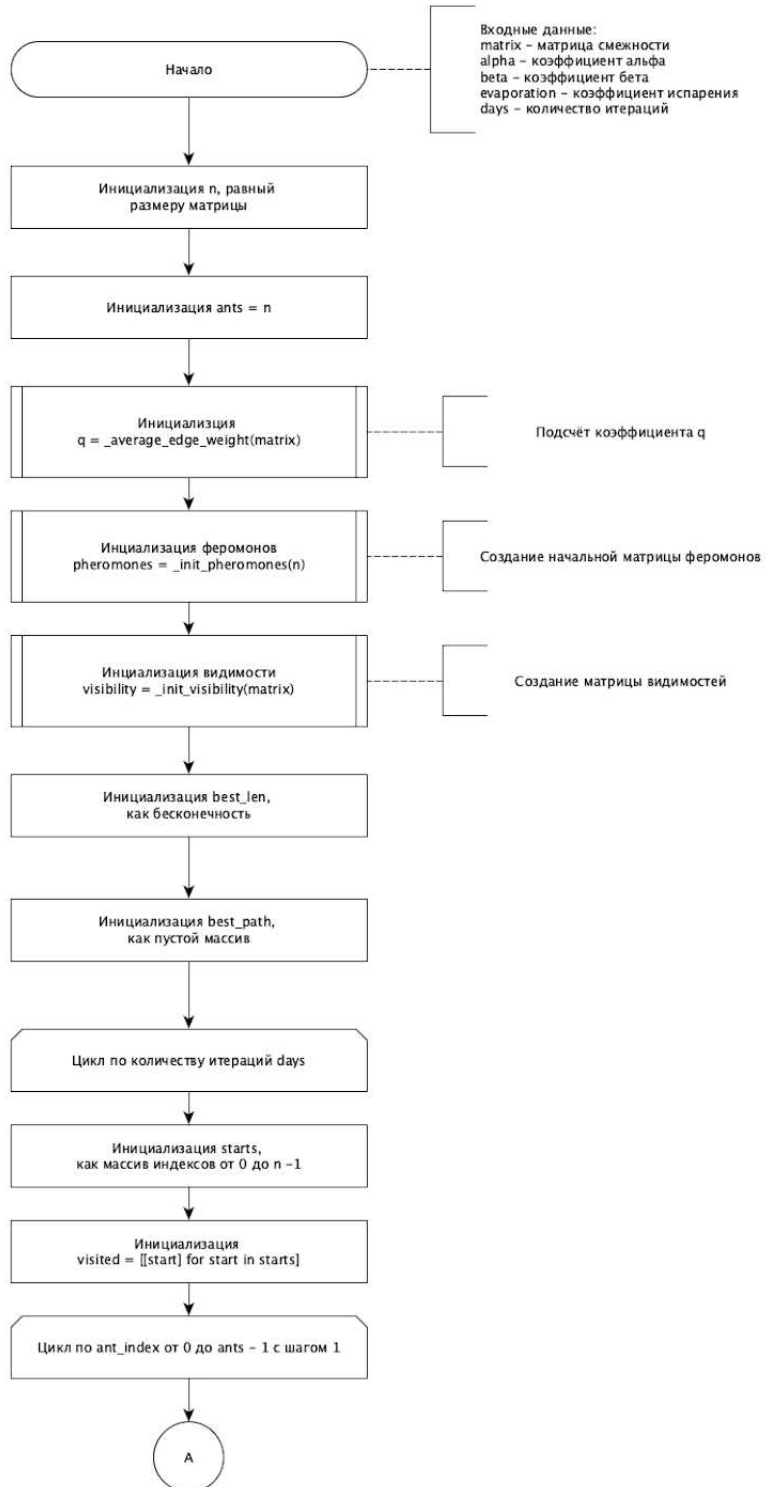


Рисунок 2.2 — Муравьиный алгоритм, часть 1



Рисунок 2.3 — Муравьиный алгоритм, часть 2

Вывод

В данном разделе были представлены схемы для алгоритма полного перебора и муравьиного алгоритма поиска кратчайших путей в графе.

3 Технологическая часть

3.1 Средства реализации

Для реализации алгоритмов был выбран язык Python 3, так как он соответствует требованиям лабораторной работы с использованием следующих библиотек:

Замеры времени выполнения проводились с использованием функции `process_time` модуля `time`, измеряющей процессорное время текущего процесса. Разработка проводилась в интегрированной среде разработки PyCharm.

3.2 Реализация алгоритмов

В листинге 3.1 приведён фрагмент кода алгоритма полного перебора, а реализация муравьиного алгоритма вынесена в приложение (листинг 4.1).

```
def brute_force_path(matrix: np.ndarray) -> tuple[float, list[int]]:
    n = matrix.shape[0]
    indices = list(range(n))

    best_len = float("inf")
    best_path: list[int] = []

    for perm in it.permutations(indices):
        length = 0.0
        for i in range(n - 1):
            length += float(matrix[perm[i], perm[i + 1]])

        if length < best_len:
            best_len = length
            best_path = list(perm)

    return best_len, best_path
```

Листинг 3.1 — Алгоритм полного перебора

3.3 Подготовка входных данных

Для построения матрицы расстояний между странами Африки задаётся фиксированный набор из 11 стран, формируется квадратная матрица 11×11 с нулями на диагонали. Для каждой пары стран по их координатам (широта, долгота) считается расстояние и умножается на коэффициент местности: для двух пустынных государств расстояние увеличивается в 1,5 раза, для маршрутов с участием Мадагаскара уменьшается до 0,7 от сухопутного аналога. В результате получаются значения от 950 до 5571: например, «Алжир — Ливия» даёт 2326,

«Алжир — Египет» — 4309, «Мали — Египет» — 5571, «Нигер — Нигерия» — 950, «Нигер — Чад» — 1740. Для связей с Мадагаскаром значения заметно меньше: «Кения — Мадагаскар» даёт 1612, «Эфиопия — Мадагаскар» — 2227. Округлённая до целых матрица сохраняется в текстовый файл и далее используется как входные данные для функциональных тестов и параметризации.

3.4 Функциональные тесты

Для проверки корректности работы программной реализации были проведены функциональные тесты на матрицах расстояний между странами Африки, построенных по географическим координатам и скорректированных с учётом типа местности.

В таблице 3.1 приведены примеры тестов.

Таблица 3.1 — Функциональные тесты на матрицах карты Африки

Матрица расстояний	Страны	Результат
$\begin{pmatrix} 0 & 2326 & 4309 & 1949 & 1999 & 3369 \\ 2326 & 0 & 2025 & 3587 & 2028 & 1830 \\ 4309 & 2025 & 0 & 5571 & 3822 & 2665 \\ 1949 & 3587 & 5571 & 0 & 1920 & 3649 \\ 1999 & 2028 & 3822 & 1920 & 0 & 1740 \\ 3369 & 1830 & 2665 & 3649 & 1740 & 0 \end{pmatrix}$	1 — Алжир 2 — Ливия 3 — Египет 4 — Мали 5 — Нигер 6 — Чад	Оптимальный незамкнутый маршрут: $1 \rightarrow 4 \rightarrow 5 \rightarrow 6 \rightarrow 2 \rightarrow 3$ Минимальная длина: 9464
$\begin{pmatrix} 0 & 1740 & 3646 & 950 & 3806 & 3624 \\ 1740 & 0 & 1907 & 1302 & 2720 & 2464 \\ 3646 & 1907 & 0 & 2388 & 1665 & 1195 \\ 950 & 1302 & 2388 & 0 & 3391 & 3492 \\ 3806 & 2720 & 1665 & 3391 & 0 & 1059 \\ 3624 & 2464 & 1195 & 3492 & 1059 & 0 \end{pmatrix}$	1 — Нигер 2 — Чад 3 — Судан 4 — Нигерия 5 — Кения 6 — Эфиопия	Оптимальный незамкнутый маршрут: $1 \rightarrow 4 \rightarrow 2 \rightarrow 3 \rightarrow 6 \rightarrow 5$ Минимальная длина: 6413
Матрица 11x11 (см. Приложение А.3)	1 — Алжир 2 — Ливия 3 — Египет 4 — Мали 5 — Нигер 6 — Чад 7 — Судан 8 — Нигерия 9 — Кения 10 — Эфиопия 11 — Мадагаскар	Оптимальный незамкнутый маршрут: $1 \rightarrow 4 \rightarrow 5 \rightarrow 8 \rightarrow 6 \rightarrow 2 \rightarrow 3 \rightarrow 7 \rightarrow 10 \rightarrow 9 \rightarrow 11$ Минимальная длина: 16172

Во всех трёх тестах результаты муравьиного алгоритма при подобранных параметрах совпали или оказались очень близки к результатам полного перебора, что подтверждает корректность реализации.

3.5 Оценка трудоёмкости алгоритмов

3.5.1 Алгоритм полного перебора

Трудоёмкость алгоритма полного перебора рассчитывается следующим образом:

- 1) инициализация переменных: $f_{init} = 3$;
- 2) генерация всех перестановок ($(n - 1)!$ итераций):

$$f_{permutations} = (n - 1)! \cdot f_{iteration}$$

- 3) обработка одной перестановки:

$$f_{iteration} = f_{length} + f_{compare} + f_{update}$$

- 4) вычисление длины пути: $f_{length} = n - 1$;
- 5) сравнение с минимальной длиной: $f_{compare} = 1$;
- 6) обновление лучшего пути: $f_{update} = n$.

Для каждой перестановки:

$$f_{iteration} = (n - 1) + 1 + n = 2n$$

Общая трудоёмкость:

$$f_{brute_force} = 3 + (n - 1)! \cdot (2n) \approx O(n! \cdot n)$$

3.5.2 Муравьиный алгоритм

Трудоёмкость муравьиного алгоритма рассчитывается следующим образом:

- 1) инициализация матрицы феромонов: $f_{init_pheromone} = n^2$;
- 2) инициализация матрицы видимости: $f_{init_visibility} = n^2$;
- 3) основной цикл (t_{max} итераций):

$$f_{main_loop} = t_{max} \cdot (f_{ants} + f_{update})$$

- 4) цикл по муравьям (n муравьёв):

$$f_{ants} = n \cdot f_{ant_path}$$

- 5) построение пути одного муравья ($n - 1$ шагов):

$$f_{ant_path} = (n - 1) \cdot (f_{probabilities} + f_{next}) + f_{calc_length}$$

- 6) вычисление вероятностей перехода: $f_{probabilities} = 2n$;
- 7) выбор следующей вершины: $f_{next} = n$;
- 8) расчёт длины пути: $f_{calc_length} = n$;
- 9) обновление феромонов: $f_{update} = n^2 \cdot n = n^3$.

Для одного муравья:

$$f_{ant_path} = (n - 1) \cdot (2n + n) + n = (n - 1) \cdot 3n + n = 3n^2 - 2n$$

Для всех муравьёв на одной итерации:

$$f_{ants} = n \cdot (3n^2 - 2n) = 3n^3 - 2n^2$$

Общая трудоёмкость одной итерации:

$$f_{day} = (3n^3 - 2n^2) + n^3 = 4n^3 - 2n^2$$

Общая трудоёмкость алгоритма:

$$f_{ant} = 2n^2 + t_{max} \cdot (4n^3 - 2n^2) \approx O(t_{max} \cdot n^3)$$

Вывод

В технологической части были выбраны средства реализации, приведены фрагменты кода реализованных алгоритмов, проведены функциональные тесты и выполнена оценка трудоёмкости методов полного перебора и муравьиного алгоритма. Алгоритм полного перебора обладает факториальной сложностью и подходит лишь для малых графов, тогда как муравьиный алгоритм имеет полиномиальную сложность $O(t_{max} \cdot n^3)$ и может применяться к задачам существенно большей размерности.

4 Исследовательская часть

4.1 Характеристики ЭВМ

Замеры проводились на устройстве со следующими характеристиками:

- процессор: Apple M4 Pro;
- количество логических ядер: 12;
- количество ядер: 12;
- оперативная память: 24 Гб;
- операционная система: macOS Sequoia 15.6.1.

Замеры времени проводились, когда ноутбук был загружен только системными приложениями.

4.2 Сравнение времени работы

Для оценки временной эффективности алгоритмов полного перебора и муравьиного алгоритма были проведены замеры на случайно сгенерированных полносвязных неориентированных графах с целочисленными весами рёбер. Для каждого размера графа выполнялось по нескольку запусков и усреднялось процессорное время.

Результаты приведены в таблице 4.1.

Таблица 4.1 — Сравнение алгоритмов по времени выполнения

Размер	Время полного перебора, с	Время муравьиного алгоритма, с
2	0,000010	0,000316
3	0,000003	0,001013
4	0,000010	0,002391
5	0,000043	0,004671
6	0,000284	0,008640
7	0,002464	0,013845
8	0,020792	0,021348
9	0,209074	0,031641
10	2,313401	0,045135

На основе полученных данных был построен график зависимости времени работы алгоритмов от количества вершин (рисунок 4.1).

Временные характеристики алгоритмов
(незамкнутый маршрут)

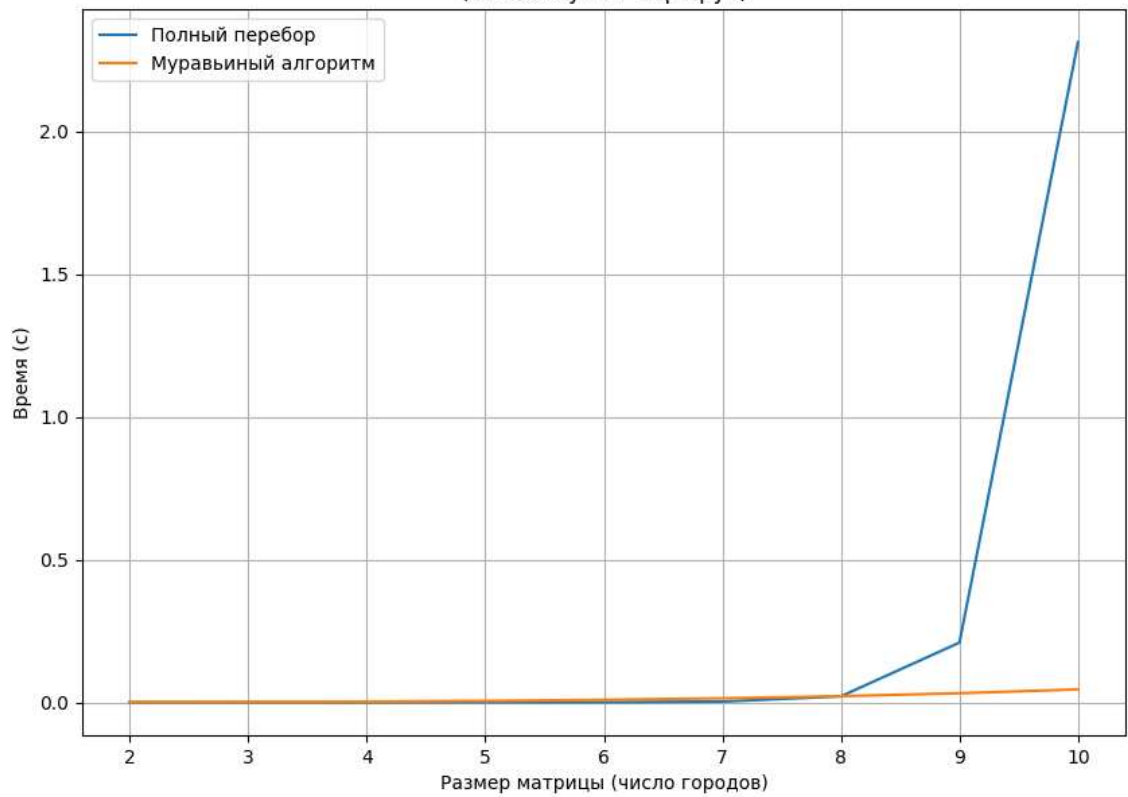


Рисунок 4.1 — Сравнение алгоритмов по времени выполнения

4.3 Параметризация муравьиного алгоритма

Была выполнена параметризация муравьиного алгоритма по трём основным параметрам (коэффициенты влияния феромона и эвристики, коэффициент испарения феромона), а также по числу итераций. Замеры проводились на фиксированном полносвязном неориентированном графе малого размера; для каждой комбинации параметров вычислялось отклонение длины маршрута, найденного муравьиным алгоритмом, от оптимального значения, полученного методом полного перебора. Результаты параметризации приведены в таблице А.1 Приложения А.

4.4 Вывод

При увеличении числа вершин трудоёмкость алгоритма полного перебора быстро возрастает и делает практическое применение невозможным. Муравьиный алгоритм на тех же тестовых данных показывает значительно более плавный рост времени выполнения и, начиная примерно с $n \approx 8$ вершин, становится сопоставим по скорости или быстрее полного перебора, а при дальнейшем увеличении размера графа его преимущество по времени только усиливается.

По полученной таблице параметризации наилучшие результаты дают наборы с $\alpha \in [0,1; 0,5]$, $\beta = 1 - \alpha$, $\rho \in [0,1; 0,5]$ и $t_{max} \in [300; 500]$, при которых во многих случаях удаётся получить маршрут с нулевым отклонением.

ЗАКЛЮЧЕНИЕ

В ходе выполнения лабораторной работы поставленная цель была достигнута, а также были решены следующие задачи:

- сформулирована задача коммивояжёра для полносвязного неориентированного графа с требованием нахождения гамильтонова пути (незамкнутого маршрута);
- разработан и реализован алгоритм полного перебора для точного решения задачи;
- разработан и реализован муравьиный алгоритм без элитных муравьёв;
- проведена параметризация муравьиного алгоритма по трём основным параметрам (α, β, ρ) и числу итераций;
- выполнена оценка трудоёмкости разработанных алгоритмов и сравнительный анализ их временных характеристик;
- сформулированы рекомендации по настройке муравьиного алгоритма и выбору метода решения в зависимости от размера задачи.

По результатам исследования установлено:

- алгоритм полного перебора обладает факториальной трудоёмкостью $O(n! \cdot n)$ и обеспечивает точное решение задачи, но практически применим только для графов малой размерности;
- муравьиный алгоритм имеет полиномиальную сложность порядка $O(t_{max} \cdot n^3)$ и позволяет находить близкие к оптимальным решения для графов существенно большей размерности;
- результаты параметризации показали, что наиболее устойчивую работу муравьиного алгоритма обеспечивают параметры $\alpha \in [0,1; 0,5]$, $\beta = 1 - \alpha$, $\rho \in [0,1; 0,5]$ и $t_{max} \in [300; 500]$.

СПИСОК ИСПОЛЬЗОВАННЫХ ИСТОЧНИКОВ

1. Аннабаева Н. Р. РЕШЕНИЯ ЗАДАЧИ КОММИВОЯЖЁРА // Наука и мировоззрение. 2025. Т. 1, № 59. С. 43-48.
2. Вечур А. В., Суяргулова Е. Б. Исследование закономерности расположения гамильтоновых циклов в графе // Автоматизированные системы управления и приборы автоматики. 2006. № 137. С. 41-48.
3. Телегин В. А. МУРАВЬИНЫЕ АЛГОРИТМЫ ДЛЯ РЕШЕНИЯ ЗАДАЧИ КОММИВОЯЖЁРА // Международный научно-исследовательский журнал. 2024. № 7 (145). с. 1.

ПРИЛОЖЕНИЕ А

Для каждой комбинации параметров в строке файла содержатся значения:

- коэффициент влияния феромона α ;
- коэффициент влияния эвристики β ;
- коэффициент испарения феромона ρ ;
- число итераций t_{max} ;
- оптимальная длина маршрута L^* , найденная алгоритмом полного перебора;
- отклонение $L - L^*$ длины маршрута, найденного муравьиным алгоритмом, от оптимального значения.

Таблица А.1 — Результаты параметризации муравьиного алгоритма

α	β	ρ	t_{max}	L^*	$L - L^*$
0.1	0.9	0.1	100	95	3
0.1	0.9	0.1	300	95	0
0.1	0.9	0.1	500	95	0
0.1	0.9	0.2	100	95	3
0.1	0.9	0.2	300	95	0
0.1	0.9	0.2	500	95	2
0.1	0.9	0.5	100	95	4
0.1	0.9	0.5	300	95	0
0.1	0.9	0.5	500	95	0
0.1	0.9	0.9	100	95	4
0.1	0.9	0.9	300	95	0
0.1	0.9	0.9	500	95	0
0.2	0.8	0.1	100	95	3
0.2	0.8	0.1	300	95	0
0.2	0.8	0.1	500	95	2
0.2	0.8	0.2	100	95	9
0.2	0.8	0.2	300	95	3
0.2	0.8	0.2	500	95	2
0.2	0.8	0.5	100	95	5
0.2	0.8	0.5	300	95	0
0.2	0.8	0.5	500	95	0
0.2	0.8	0.9	100	95	4
0.2	0.8	0.9	300	95	0
0.2	0.8	0.9	500	95	0
0.5	0.5	0.1	100	95	6
0.5	0.5	0.1	300	95	2

Таблица А.2 — Продолжение таблицы А.1

α	β	ρ	t_{max}	L^*	$L - L^*$
0.5	0.5	0.1	500	95	0
0.5	0.5	0.2	100	95	3
0.5	0.5	0.2	300	95	0
0.5	0.5	0.2	500	95	0
0.5	0.5	0.5	100	95	0
0.5	0.5	0.5	300	95	3
0.5	0.5	0.5	500	95	0
0.5	0.5	0.9	100	95	5
0.5	0.5	0.9	300	95	3
0.5	0.5	0.9	500	95	2
0.9	0.1	0.1	100	95	12
0.9	0.1	0.1	300	95	5
0.9	0.1	0.1	500	95	0
0.9	0.1	0.2	100	95	9
0.9	0.1	0.2	300	95	2
0.9	0.1	0.2	500	95	2
0.9	0.1	0.5	100	95	3
0.9	0.1	0.5	300	95	5
0.9	0.1	0.5	500	95	0
0.9	0.1	0.9	100	95	10
0.9	0.1	0.9	300	95	8
0.9	0.1	0.9	500	95	5

Таблица А.3 — Матрица расстояний для полной карты Африки

0	2326	4309	1949	1999	3369	5109	2232	4963	4570	4985
2326	0	2025	3587	2028	1830	3031	2120	3674	3107	4164
4309	2025	0	5571	3822	2665	2330	3050	3080	2214	3750
1949	3587	5571	0	1920	3649	5555	1663	4983	4891	4810
1999	2028	3822	1920	0	1740	3646	950	3806	3624	4101
3369	1830	2665	3649	1740	0	1907	1302	2720	2464	3427
5109	3031	2330	5555	3646	1907	0	2388	1665	1195	2774
2232	2120	3050	1663	950	1302	2388	0	3391	3492	3646
4963	3674	3080	4983	3806	2720	1665	3391	0	1059	1612
4570	3107	2214	4891	3624	2464	1195	3492	1059	0	2227
4985	4164	3750	4810	4101	3427	2774	3646	1612	2227	0

```

def ant_algorithm_path(
    matrix: np.ndarray,
    alpha: float,
    beta: float,
    evaporation: float,
    days: int,
) -> tuple[float, list[int]]:
    n = matrix.shape[0]
    ants = n

    q = _average_edge_weight(matrix)
    pheromones = _init_pheromones(n)
    visibility = _init_visibility(matrix)

    best_length = float("inf")
    best_path: list[int] = []

    for _ in range(days):
        starts = list(range(n))
        visited = [[start] for start in starts]

        for ant_index in range(ants):
            while len(visited[ant_index]) < n:
                probs = _transition_probabilities(
                    pheromones, visibility, visited,
                    ant_index, alpha, beta,
                )
                next_city = _choose_next_city(probs)

                if next_city in visited[ant_index]:
                    unvisited = [
                        c for c in range(n)
                        if c not in visited[ant_index]
                    ]
                    if not unvisited:
                        break
                    next_city = unvisited[0]

                visited[ant_index].append(next_city)

```

```
length = _calc_path_length(matrix, visited[ant_index])
if length < best_length:
    best_length = length
    best_path = visited[ant_index].copy()

pheromones = _update_pheromones(
    matrix=matrix,
    paths=visited,
    pheromones=pheromones,
    q=q,
    evaporation=evaporation,
)

return best_length, best_path
```

Листинг 4.1 — Муравьиный алгоритм